

Análise de Dados Longitudinais

Aula 17.10.2018

José Luiz Padilha da Silva - UFPR
www.docs.ufpr.br/~jlpadilha

1/22

Sumário

- 1 Modelos Lineares Generalizados Longitudinais
- 2 Modelos Marginais: GEE
- 3 Modelos Lineares Generalizados Mistos
- 4 Contrastando os Modelos

2/22

Modelos Lineares Generalizados Longitudinais

- 1 Fácil transferência entre modelos (marginal e condicional) para resposta gaussiana.
- 2 Transferência difícil entre modelos quando a resposta não é gaussiana.
- 3 Modelos Marginais
 - Especificação completa: o ajuste por MV pode ser complicado.
 - Alternativa Não-Verossimilhança: MQG, GEE, etc.
- 4 Modelos Condicionais: ajuste complicado.

3/22

Resposta Longitudinal Não-Gaussiana

- 1 Equações de Estimação Generalizadas
- 2 Modelos Lineares Mistos Generalizados

4/22

Modelos Marginais: GEE

Equações de Estimação Generalizadas

$$\sum_{i=1}^N D_i' V_i (Y_i - \mu_i) = 0,$$

em que

- $D_i = \partial \mu_i / \partial \beta$ e $\mu_i = g^{-1}(X_i \beta)$, ou seja, o inverso da função de ligação g .

•

$$\text{Var}(Y_i) = V_i = \phi A_i^{1/2}(\beta) R_i(\alpha) A_i^{1/2}(\beta)$$

em que A_i é uma matriz diagonal formada por $\text{Var}(Y_{ij})$, R_i é matriz de correlação de trabalho e ϕ é um parâmetro de dispersão/escala.

- $\text{Var}(\hat{\beta})$ é estimada pela variância robusta (estimador sanduíche).

5/22

Formas de Correlação de Trabalho

- *independência*, $R_i(\alpha) = I_{n_i}$;
⇒ dados longitudinais não correlacionados.
- *simetria composta*, especifica que $R_i(\alpha) = \rho 1_{n_i} 1_{n_i}' + (1 - \rho) 1_{n_i}$;
⇒ mesma correlação para qualquer par de tempo.
- *AR-1*, para a qual $R_i(\alpha) = \rho^{|j-j'|}$;
⇒ válida para medidas igualmente espaçadas no tempo;
- *não estruturada*;
⇒ estima todas as $n_i(n_i - 1)/2$ correlações de R .

6/22

Variância do Estimador

- 1 Naive ou “baseada no modelo”

$$\widehat{\text{Var}}(\hat{\beta}) = \left(\sum_{i=1}^N \hat{D}_i' R_i(\hat{\alpha})^{-1} \hat{D}_i \right)^{-1}. \quad (1)$$

- 2 Robusta ou “empírica”

$$\widehat{\text{Var}}(\hat{\beta}) = M_0^{-1} M_1 M_0^{-1}, \quad (2)$$

em que

$$M_0 = \sum_{i=1}^N \hat{D}_i' R_i(\hat{\alpha})^{-1} \hat{D}_i,$$

$$M_1 = \sum_{i=1}^N \hat{D}_i' R_i(\hat{\alpha})^{-1} (y_i - \hat{\mu}_i)(y_i - \hat{\mu}_i)' R_i(\hat{\alpha})^{-1} \hat{D}_i.$$

7/22

Exemplo: Bernoulli-logit

- 1 $\mu_{ij} = E(Y_{ij}) = P(Y_{ij} = 1)$.

2

$$\text{logit}(\mu_{ij}) = \log(\mu_{ij}/(1 - \mu_{ij})) = X_{ij}' \beta$$

$$\mu_{ij} = \frac{e^{X_{ij}' \beta}}{1 + e^{X_{ij}' \beta}}$$

3

$$\text{Var}(Y_{ij}) = \mu_{ij}(1 - \mu_{ij})$$

4

$$\nu_{ij} = \mu_{ij}(1 - \mu_{ij}) \quad A_i = \text{diag}(\nu_{i1}, \nu_{i2}, \dots, \nu_{in})$$

8/22

Exemplo: Poisson-log

$$1 \quad \log(\mu_{ij}) = X'_{ij}\beta.$$

$$\mu_{ij} = e^{X'_{ij}\beta}$$

2

$$\text{Var}(Y_{ij}) = \mu_{ij} = e^{X'_{ij}\beta}$$

3

$$\nu_{ij} = e^{X'_{ij}\beta} = \mu_{ij}$$

9/22

Estimando a Correlação de Trabalho

- Liang e Zeger (1986) utilizaram estimativas de momentos para os parâmetros da matriz de correlação de trabalho.
- Ou seja, utilizar estimadores baseados nos resíduos para as quantidades envolvidas em R_i .
- Resíduos de Pearson:

$$e_{ij} = \frac{y_{ij} - \hat{\mu}_{ij}}{\sqrt{\hat{\nu}_{ij}}},$$

em que $\nu_{ij} = \mu_{ij}(1 - \mu_{ij})$ para resposta binária e $\nu_{ij} = \mu_{ij}$, para contagem.

10/22

Estimadores de Momentos usando Resíduos

- **Independência:** $\text{Cor}(Y_{ij}, Y_{ij'}) = 0$.
- **Simetria Composta:** $\text{Cor}(Y_{ij}, Y_{ij'}) = \alpha$.

$$\hat{\alpha} = \frac{\sum_{i=1}^N \sum_{j>j'} e_{ij} e_{ij'}}{\sum_{i=1}^N n_i(n_i - 1)/2 - p}.$$

- **Não estruturada:** $\text{Cor}(Y_{ij}, Y_{ij'}) = \alpha_{jj'}$.

$$\hat{\alpha}_{jj'} = \frac{\sum_{i=1}^N e_{ij} e_{ij'}}{N - p}.$$

Podemos estimar ϕ por

$$\hat{\phi} = \sum_{i=1}^N \sum_{j=1}^{n_i} e_{ij}^2 / (N - p).$$

em que $N = \sum_{i=1}^N n_i$ e p é a dimensão de β .

11/22

Ajustando GEE

- 1 Use MLE para encontrar a estimativa inicial para β (assumindo independência)
- 2 Encontre os resíduos e estime α e ϕ .
- 3 Atualize a estimativa de β .
- 4 Faça iterações em (2)-(3) até a convergência.
- 5 Estime $\text{Var}(\hat{\beta})$ usando o estimador sanduíche.

12/22

Modelos Lineares Generalizados Mistos

1 Modelos Lineares Generalizados

- Resposta na família exponencial: normal, gama, exponencial, Bernoulli, Poisson, etc.
- Preditor Linear: $X_i' \beta$.
- Função de Ligação: $g(\mu_i) = X_i' \beta$.

2 Modelos Lineares Generalizados Mistos

Preditor Linear:

$$X_i \beta + Z_i b_i.$$

13/22

Modelos Generalizado Misto Longitudinal

1

$$g(E(Y_{ij}|b_i)) = X_{ij}' \beta + Z_{ij}' b_i$$

em que:

$(\beta)_{p \times 1}$: efeitos fixos;

$(b_i)_{q \times 1}$: efeitos aleatórios.

e,

2

$$b_i \sim N_q(0, \Sigma) \text{ e } \varepsilon_{ij} \sim N(0, \sigma^2)$$

Sendo b_i e ε_{ij} independentes.

14/22

Função de Verossimilhança

$$\begin{aligned} L(\theta|y) &= \prod_{i=1}^N p(y_i|\theta) \\ &= \prod_{i=1}^N \int p(y_i, b_i|\theta) db_i \\ &= \prod_{i=1}^N \int p(y_i|b_i, \theta) p(b_i|\theta) db_i \end{aligned}$$

em que,

$$p(y_i|b_i, \theta) \sim \text{Bernoulli-logit/Poisson-log, etc}$$

e

$$p(b_i|\theta) \sim N_q(0, \Sigma)$$

15/22

Solução

- No modelo linear-normal, a integral pode ser resolvida analiticamente.
- Em geral, aproximações são necessárias no caso não-normal.
- Aproximação do integrando: Laplace
- Aproximação da integral: quadratura gaussiana.

Usualmente, a combinação normal-logit não tem solução simples.

16/22

Interpretação dos Parâmetros

- O vetor β no GEE tem interpretação populacional. Ou seja, a mesma interpretação dos modelos transversais.
- O vetor β no modelo GLMM tem interpretação condicional sob o nível dos efeitos aleatórios. Ou seja, interpretação específica para cada indivíduo.
- Portanto, as estimativas dos modelos são diferentes!

A seguir, aprofundamos as conexões entre os dois modelos.

17/22

Conexões entre modelos de efeitos aleatórios e modelos marginais

Para a função de ligação identidade,

$$E(Y_{ij}) = \int (X'_{ij}\beta + Z'_{ij}b_i)f(b_i, \Sigma)db_i = X'_{ij}\beta.$$

O modelo marginal tem a mesma forma e efeitos β . Isto não é verdade para outras ligações.

Por exemplo, para o modelo logístico

$$E(Y_{ij}) = E \left[\frac{\exp(X'_{ij}\beta + Z'_{ij}b_i)}{1 + \exp(X'_{ij}\beta + Z'_{ij}b_i)} \right],$$

Esta esperança não tem a forma $\exp(X_{ij}) / [1 + \exp(X_{ij})]$, exceto quando b_i tem uma distribuição degenerada ($\sigma_b = 0$).

19/22

Conexões entre modelos de efeitos aleatórios e modelos marginais

No modelo misto modelamos a média condicional, $\mu_{ij} = E(Y_{ij}|b_i)$.

Invertendo a função de ligação, obtemos

$$E(Y_{ij}|b_i) = g^{-1}(X'_{ij}\beta + Z'_{ij}b_i).$$

Marginalmente, ponderando sobre os efeitos aleatórios, a média é

$$E(Y_{ij}) = E[E(Y_{ij}|b_i)] = \int g^{-1}(X'_{ij}\beta + Z'_{ij}b_i)f(b_i, \Sigma)db_i,$$

em que $f(b_i, \Sigma)$ é a $N_q(0, \Sigma)$, densidade dos efeitos aleatórios.

18/22

Conexões entre modelos de efeitos aleatórios e modelos marginais

Zeger et. al. (1988) mostraram que, para o modelo condicional,

$$\text{logito}(\mu_{ij}) \approx a(\Sigma)X'_{ij}\beta,$$

em que $a(\Sigma) = |c^2 \Sigma Z_{ij} Z'_{ij} + I|^{-q/2}$ e $c = \frac{16\sqrt{3}}{15\pi}$.

No caso particular em que $q = 1$ (intercepto aleatório), temos a relação aproximada:

$$\beta_M \approx \frac{\beta_{EA}}{\sqrt{1 + \frac{16\sqrt{3}}{15\pi}\sigma_b^2}}.$$

20/22

Conexões entre modelos de efeitos aleatórios e modelos marginais

Assim, se $\text{Var}(b_i) = \sigma_b > 0$, o efeito marginal β_M é menor que o efeito condicional β_{EA} .

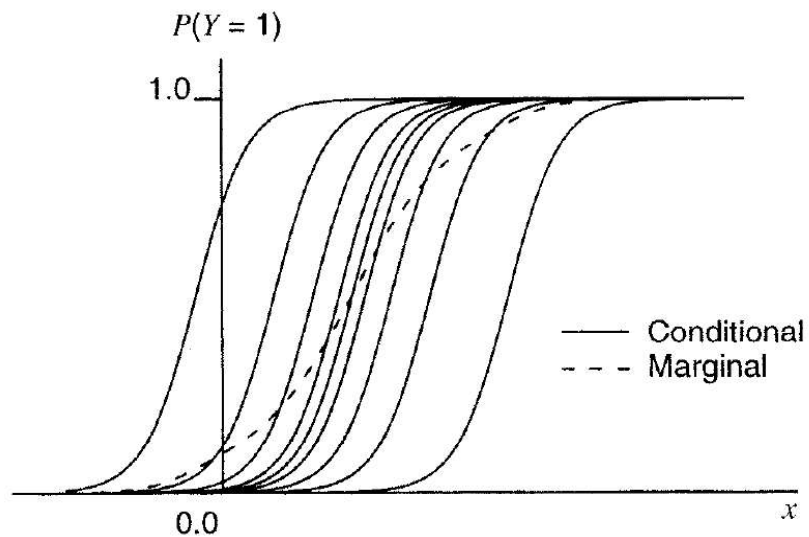
Além disso, a discrepância entre β_{EA} e β_M aumenta quando σ_b cresce.

Por exemplo, se $\sigma_b^2 = 3,5$, então $\beta_{EA} \approx 1,49\beta_M$; se $\sigma_b^2 = 9$, então $\beta_{EA} \approx 2,03\beta_M$.

A figura a seguir ilustra por que o efeito marginal é menor que o efeito condicional.

21/22

Modelo Logístico: Efeito Condicional e Marginal



22/22